

동맥경화성 죽상반의 발생후 혈관의 보상적 재형성

조민태* · 서상호** · 이병권*** · 권혁문****

1. 서 론

점진적으로 진행하는 동맥경화의 초기단계에서 동맥혈관내경의 협착에 대한 보상으로 혈관벽이 확장되어 협착으로 인한 혈액유동을 정상화하려는 보상기전(compensatory mechanism)이 발생한다고 발표되고 있다⁽¹⁻³⁾.

본 연구에서는 협착이 발생된 관상동맥에 보상적 재형성이 이루어 졌을 때 혈류역학적 특성과 동맥경화증의 진행과의 관계를 컴퓨터 시뮬레이션을 사용하여 살펴보고자 한다.

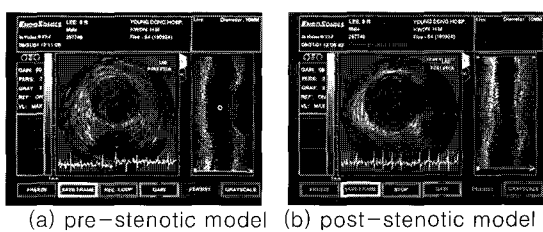
2. 모델 선정

Fig. 1은 관상동맥내 협착이 발생한 부위에 대하여 혈관내초음파(intravascular ultrasound)촬영을 한 사진이며, 혈류가 있는 내강만을 찾아내는 관상동맥조형술에 비해 혈관벽의 상태도 함께 알 수 있다. Fig. 2는 Fig. 1의 형상을 이상화하여 구성한 혈관재형성 모델이다. 본 연구에서는 두 가지 모델에 대하여 혈류특성과 동맥경화증의 진행과의 관계를 살펴보고자 하였다. 이 모델은 실제 관상동맥의 크기와 같이 입구 혈관내경은 3.5 mm, 출구 혈관내경은 3 mm, 협착부의 혈관내경은 2.5 mm, 재형성으로 확장된 부위의 혈관내경은 4 mm이다.

3. 컴퓨터 시뮬레이션

혈관이 재형성될 때 형상변화에 따른 전단응력과 윤동속도의 변화를 살펴보기 위하여 연속방정식과 운동량방정식을 이용하였고, 유한체적법으로 이산화한 후 반복적인 방법으로 해를 구하였다.

입구경계조건은 도플러 초음파 장비로 관상동맥의 유량변화를 얻어 Fig. 3과 같이 적용하였으며, 한주기당 유량은 0.764 ml이다.



(a) pre-stenotic model (b) post-stenotic model

Fig. 1 Plaque and remodeling photographs by the intravascular ultrasound catheter

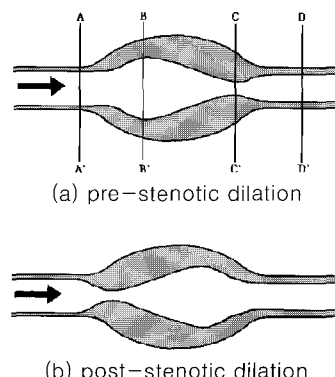


Fig. 2 Schematic of arterial remodeling models

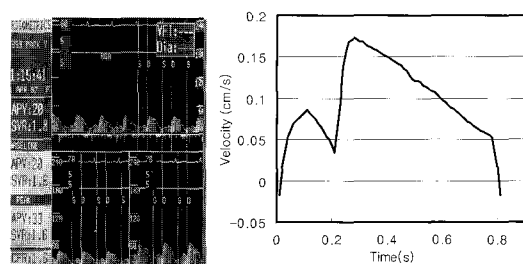


Fig. 3 Physiological waveform of pulsatile coronary blood flow

* 승설대학교 대학원 기계공학과

** 승설대학교 기계공학과

*** 인제대학교 의과대학 내과

**** 연세대학교 의과대학 심장내과

4. 결과 및 검토

Fig. 4~Fig. 7 은 Fig. 2 의 혈관벽 재형성 모델의 각 단면 A, B, C, D 에서 한주기동안 전단응력의 변화를 나타낸 것이다.

입구에서의 유량이 Fig. 3 과 같이 1/4 주기동안 유속이 조금 증가 및 감소하고 나머지 3/4 주기동안 크게 증가하였다가 서서히 감소하는 경향이 혈관 재형성 모델의 단면 A, B, D 에서의 전단응력과 유사한 변화를 보이고 있다. 단면 C 에서의 전단응력은 다른 단면과 경향이 다르게 나타나고 있는데, 이는 단면 C 가 혈관벽이 확장하여 혈관벽 가까이에서 재순환영역이 형성되기 때문이다. 단면 A, B, D 에서는 한주기동안 전반적으로 양의 전단응력을 나타내고 있으나, 단면 C 에서는 초기 1/4 주기동안 유속이 증가할 때만 양의 전단응력을 나타내고 나머지 대부분의 기간에는 음의 전단응력을 나타내고 있어 대부분의 기간동안 재순환영역이 발생하고 있음을 알 수 있다. Table 1 은 각 단면 A, B, C, D 에서의 벽면전단응력과 전단율을 나타낸 것이다. Pre-stenotic model 에서는 협착이 발생된 단면 C 에서 최대전단응력과 전단율이 나타나며, Post-stenotic model 에서는 협착이 발생된 단면 B 에서 나타난다. 전단응력과 전단율은 두가지 모델 모두에서 혈관확장부에서만 음의 전단율 즉, 재순환영역이 나타남을 알 수 있다. 한 주기동안 전단응력의 변화는 Post-stenotic 모델이 Pre-stenotic 모델보다 비교적 높게 나타난다. Pre-stenotic 모델은 Post-stenotic 모델보다 많은 기간동안 음의 전단응력이 발생하고 있음을 알 수 있다.

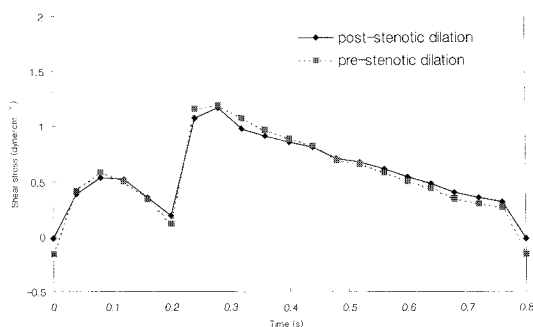


Fig. 4 Wall shear stress changes at the cross section A

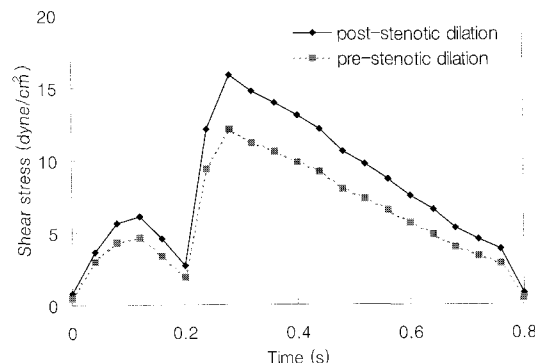


Fig. 5 Wall shear stress changes at the cross section B

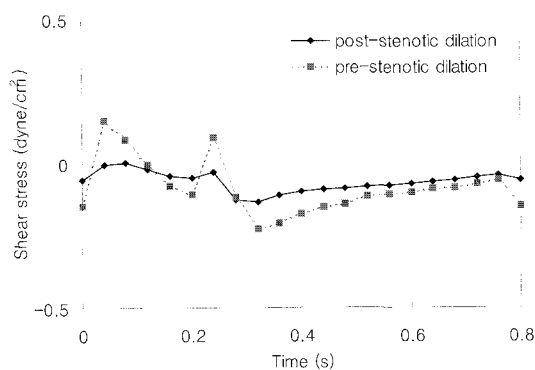


Fig. 6 Wall shear stress changes at the cross section C

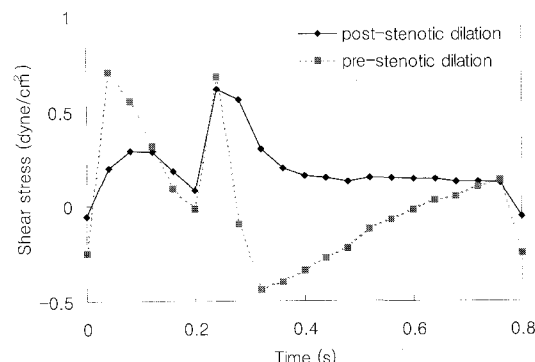


Fig. 7 Wall shear stress changes at the cross section D

Table 1 Wall shear stresses and shear rates at different cross sections

unit: (W.S.S.) dyne/cm², (W.S.R.) s⁻¹

Model	Section				
		A	B	C	D
pre-stenotic model	W.S.S.	1.38	-1.06	12.2	1.93
	W.S.R.	40	-30.7	353.6	55.9
post-stenotic model	W.S.S.	0.63	15.9	-0.135	1.21
	W.S.R.	18.3	460.9	-3.9	35.1